

УДК 544.144+544.176+547.313+547.596.4

ВЛИЯНИЕ ЭЛЕКТРОННЫХ ЭФФЕКТОВ СОПРЯЖЕННЫХ ЕНОВ НА ИХ РЕАКЦИОННУЮ СПОСОБНОСТЬ В ПРЕВРАЩЕНИЯХ ТИПА ADD_N© 2007 Э.Р. Латыпова^{1*}, Р.Я. Харисов², И.В. Вакулин¹, Р.Ф. Талипов¹, Г.Ю. Ишмуратов²¹Башкирский государственный университет, Уфа²Институт органической химии Уфимского научного центра РАН

Статья поступила 7 марта 2006 г.

С использованием приближений RHF/3-21G, RHF/6-31G(*d, p*), MP2/6-31G(*d, p*), B3LYP/6-31G(*fd, p*) изучено строение и рассчитаны спектры ЯМР ¹³C 2-алкилзамещенных циклогексен-2-онов и 2-алкилакролеинов. В ряду 2-алкилциклогексен-2-онов влияние заместителя на отклонение от копланарности фрагмента C=C—C=O более выражено по сравнению с 2-алкилакролеинами. При этом данного отклонения (5°) недостаточно для объяснения наблюдаемых свойств 2-алкилциклогексен-2-онов за счет нарушения сопряжения. Особое поведение (R)-4-ментенона в реакциях 1,4-присоединения и озонолиза объяснено более выраженным +I-эффектом алкильного заместителя в α-положении.

Ключевые слова: (R)-4-ментенон, 2-алкилзамещенные циклогексен-2-оны и акролеины, конформационный анализ, *ab initio* расчеты.

ВВЕДЕНИЕ

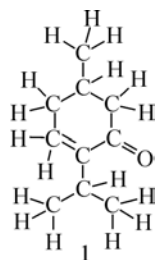
Известно, что для сопряженных α, β-ненасыщенных енонов реакции 1,4-присоединения при использовании медных катализаторов или диалкилкупратных реагентов обычно протекают с высокими выходами и региоспецифичностью [1, 2]. Однако по результатам наших исследований для монотерпеноида (R)-4-ментенона **1** они не реализовывались или протекали лишь в особых случаях [3]. Кроме того, была отмечена его повышенная реакционная способность при взаимодействии с озоном по сравнению с изученными еноновыми системами [4].

С целью выявления причин столь необычного поведения соединения **1** в указанных реакциях нами проведен квантовохимический анализ геометрического и орбитального строения ряда циклических и ациклических сопряженных енонов: ментенона **1**, 2,5-замещенных циклогексен-2-онов **2a–f** и 2-замещенных акролеинов **3a–e**.

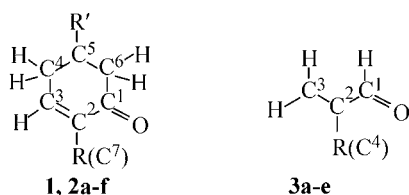
МЕТОДЫ

Квантовохимические расчеты проводили по программе PC-GAMESS version 6.4 [5]. При этом использовано неэмпирическое приближение Хартри—Фока с применением валентно-расщепленных базисных наборов 3-21G, 6-31G(*d, p*), 6-31G(*fd, p*).

Электронную корреляцию учитывали в приближениях Меллера—Плессе второго уровня MP2(FC) (с замороженными орбиталями остова) и MP2(Full) [6], а также в приближении DFT с использованием гибридного функционала B3LYP [7, 8].

Рис. 1. Структурная формула (R)-4-ментенона **1**

* E-mail: lelvirar@mail.ru



- (1) R = *i*Pr, R' = CH₃;
 (2a) R = R' = H; (2b) R = CH₃, R' = H; (2c) R = C₂H₅, R' = H; (2d) R = *i*Pr, R' = H;
 (2e) R = *t*Bu, R' = H; (2f) R = CH₃, R' = *i*Pr;
 (3a) R = H; (3b) R = CH₃; (3c) R = C₂H₅; (3d) R = *i*Pr; (3e) R = *t*Bu.

Рис. 2. Структурные формулы 2-алкилциклогексен-2-онов **1**, **2a–f** и 2-алкилакролеинов **3a–e**

Поиск равновесной геометрии осуществляли путем последовательной оптимизации начальной геометрии в приближениях RHF/3-21G, RHF/6-31G(*d, p*), MP2/6-31G(*d, p*), а также B3LYP/6-31G(*fd, p*). Последующие единичные расчеты для проведения анализа NBO и вычисления спектра ЯМР ¹³C проводили в приближении MP2/6-31G(*d, p*). Решение колебательной задачи и нахождение энергии нулевых колебаний проводилось в приближении RHF/6-31G(*d, p*) с использованием Scale factor 0,89 [9].

Неоднократно показано, что расчетные значения геометрических параметров органических молекул, полученные с использованием приближения MP2/6-31G(*d, p*), находятся в хорошем соответствии с данными экспериментальных методов [10, 11]. Точность расчета спектральных параметров и орбитального строения может быть повышена при учете электронной корреляции [9].

РЕЗУЛЬТАТЫ И ИХ ОБСУЖДЕНИЕ

Как известно [12], 1,4-нуклеофильное присоединение, характерное для α, β-ненасыщенных карбонильных соединений, обусловлено поляризацией связи C=C в результате сопряжения с группой C=O. Очевидно, что малая реакционная способность енона **1** в реакциях 1,4-нуклеофильного присоединения может быть связана как с уменьшением этого сопряжения, так и с увеличением электронной плотности на β-атоме углерода в α, β-сопряженной системе за счет электронного эффекта заместителя или сочетания этих двух факторов.

С целью установления закономерностей в изменении свойств, обусловленных наличием сопряжения, анализ расчетных данных проводили в ряду циклических α, β-ненасыщенных кетонов **1**, **2a–f** в сравнении с 2-алкилзамещенными акролеинами **3a–e**. При этом нами рассмотрено строение фрагмента C=C—C=O и изменение значений химических сдвигов атомов, входящих в еноновую систему в спектрах ЯМР ¹³C.

Особенности геометрического строения α, β-ненасыщенных енонов 1–3. Для изучения влияния заместителя на изменения геометрического строения фрагмента C=C—C=O в соединениях **1–3** нами проведен поиск равновесной геометрии с использованием приближений MP2/6-31G(*d, p*) и B3LYP/6-31G(*fd, p*), результаты расчетов представлены в табл. 1 и 2.

Расчеты показывают, что в акролеинах **3a–e** алкильный заместитель в β-положении мало влияет на изменение геометрического строения α, β-ненасыщенной системы. Наибольшее отклонение диэдрального угла от копланарности в системе C=C—C=O наблюдается для соединения **3c** и составляет 1,5°.

Алкильный заместитель в циклогексен-2-онах **1**, **2a–f** оказывает более заметное влияние на копланарность расположения кратных связей фрагмента C=C—C=O. По мере роста объема алкильного заместителя наблюдается монотонное увеличение отклонения фрагмента C=C—C=O, достигающего 3,8° и 4,4° для ментенона в зависимости от используемого метода. Кроме того, для изучаемых циклических енонов **1**, **2a–f** наблюдается увеличение длины связи между C² и C³, которое составляет 0,016 Å, и оно также больше, чем в акролеинах.

Т а б л и ц а 1

Расчетные значения геометрических параметров фрагмента C=C—C=O карбонильных соединений 1—3, найденные в приближении MP2/6–31G(d, p)

Соединение	Длина связи, Å			Валентный угол, град.		Диэдральный угол, град.
	C ² —C ¹	C ³ —C ²	C ¹ —O	C ³ —C ² —C ¹	R—C ² —C ³	C ³ —C ² —C ¹ —O
2a	1,476	1,346	1,231	122,0	121,7	–177,0
2b	1,484	1,350	1,232	120,0	123,6	–177,5
2c	1,485	1,351	1,233	119,9	123,1	–175,9
2d	1,487	1,351	1,233	119,5	124,4	–176,2
2e	1,492	1,355	1,234	118,0	123,1	–174,8
1	1,487	1,351	1,233	119,3	124,6	–175,6
2f	1,480	1,348	1,233	119,4	123,9	–176,1
3a	1,470	1,340	1,225	120,5	122,4	180,0
3b	1,476	1,343	1,226	117,8	125,2	–179,9
3c	1,477	1,344	1,227	117,6	124,8	–178,9
3d	1,479	1,344	1,227	116,8	126,1	–178,7
3e	1,483	1,347	1,227	114,5	125,3	–179,9

Т а б л и ц а 2

Расчетные значения геометрических параметров фрагмента C=C—C=O карбонильных соединений 1—3, найденные в приближении B3LYP/6–31G(fd, p)

Соединение	Длина связи, Å			Валентный угол, град.		Диэдральный угол, град.	
	C ² —C ¹	C ³ —C ²	C ¹ —O	C ³ —C ² —C ¹	R—C ² —C ³	C ³ —C ² —C ¹ —O	C ⁶ —C ¹ —C ² —O
2a	1,481	1,338	1,217	122,4	121,8	–178,6	177,7
2b	1,491	1,342	1,218	120,1	123,6	–178,7	177,6
2c	1,492	1,343	1,218	119,9	123,0	–177,0	178,0
2d	1,495	1,343	1,219	119,5	124,5	–176,5	178,0
2e	1,500	1,346	1,219	118,0	123,1	–176,9	177,6
1	1,494	1,343	1,219	119,3	124,7	–176,2	178,3
2f	1,487	1,341	1,218	119,4	123,9	–177,9	177,6
3a	1,475	1,332	1,210	117,8	121,1	180,0	180,0
3b	1,484	1,336	1,210	117,4	122,4	179,9	180,0
3c	1,484	1,336	1,211	117,0	123,3	–178,5	179,4
3d	1,484	1,335	1,208	116,1	124,8	–179,9	179,9
3e	1,491	1,338	1,211	114,5	125,3	–180,0	180,0

Известно, что сопряжение в значительной мере зависит от диэдрального угла между π -орбиталями и при изменении значения этого угла от 0 до 90° сопряжение невозможно [13]. Однако в случае циклических енонов **1**, **2a–e** наблюдаемые отклонения диэдрального угла между π -связями незначительны и не могут, на наш взгляд, являться основной причиной, определяющей снижение степени сопряжения в фрагменте C=C—C=O.

Особенности спектров ЯМР ¹³C енонов 1—3. Активность связи C=C в α , β -ненасыщенных карбонильных соединениях в реакциях 1,4-нуклеофильного присоединения подвержена влиянию различных факторов, среди которых наиболее значимым является электронный эффект алкильного заместителя [14]. Известно, что его количественная оценка может быть успешно определена по спектрам ЯМР ¹³C [15]. В связи с этим для учета электронного эффекта алкильных заместителей в α -положении в соединениях **1—3** нами были рассчитаны с исполь-

Т а б л и ц а 3
Расчетные значения химических сдвигов (м.д.) замещенных акролеинов **3a—e** в приближениях MP2/6-31G(d, p)

Атом	3a	3b	3c	3d	3e
C ¹	170,9	176,8	176,9	177,2	178,3
C ²	123,9	136,9	142,1	146,3	148,1
C ³	116,5	121,5	121,7	120,1	123,4
C ⁴	–	17,9	26,4	27,9	33,5

зованием приближения MP2/6-31G(d, p) спектры ЯМР ¹³C и рассмотрено изменение значений химических сдвигов атомов углерода, входящих в сопряженную систему C=C—C=O.

Полученные результаты расчетов представлены в табл. 3 и 4. Судя по расчетным данным по сравнению с экспериментальными методом MP2/6-31G(d, p) удовлетворительно воспроизводит значения химических сдвигов атомов углерода в спектре ЯМР ¹³C.

В ряду акролеинов **3a—e** введение алкильного заместителя в α-положение приводит к поляризации системы C=C—C=O и уменьшению электронной плотности на атомах углерода. Это выражается в монотонном смещении сигналов в область слабого поля всех атомов углерода, входящих в α, β-ненасыщенную систему (C³, C², C¹). Наибольшее смещение наблюдается для α-*трет*-бутилакролеина.

В ряду 2-алкилзамещенных циклогексен-2-онов **1—3** влияние алкильного заместителя во втором положении на смещение сигналов атомов углерода α, β-ненасыщенной системы не столь однозначно. Во-первых, практически отсутствует влияние заместителя на сдвиг сигнала карбонильного атома углерода в спектре. Наибольшее слабopольное смещение, наблюдаемое для сигнала атома углерода C¹ соединения **2e** по сравнению с аналогичным сигналом соединения **2a**, составляет всего 2,6 м.д. Во-вторых, сдвиг сигнала α-атома углерода циклогексен-2-онов **1, 2a—f** в слабое поле выражен в значительно меньшей степени, чем в акролеинах **3a—e**. Наибольшее смещение сигнала α-атома углерода также наблюдается для соединения **2e** и составляет 15,9 м.д. Для сравнения в акролеине **3e** это смещение составляет 24,2 м.д.

Наиболее интересным представляется сильнополюсное смещение сигналов β-атомов углерода, наблюдаемое в спектрах циклогексен-2-онов **1, 2a—f**. Найдено, что максимальное смещение для рассматриваемых соединений наблюдается для енонов с R^f-заместителем, в частности, для ментенона **1** оно составило 6 м.д. Очевидно, что в отличие от замещенных акролеинов **3a—e**, введение алкильного заместителя в α-положение в циклогексен-2-онах **1, 2a—f** не приводит к дополнительной поляризации α, β-ненасыщенной системы в целом. Наблюдается лишь поляризация связи C=C, сопровождающаяся увеличением электронной плотности на β-атоме углерода. Это согласуется с известными закономерностями в спектрах ЯМР ¹³C α, β-ненасыщенных карбонильных соединений, когда сигнал олефинового атома C², связанного с электронодонорным заместителем, смещается в область слабого поля, а сигнал соседнего олефинового атома C³ — в область сильного поля [15].

Таким образом, повышенная реакционная способность (R)-4-ментенона **1** в реакциях 1,4-нуклеофильного присоединения и озонлиза, на наш взгляд, определяется комбинированным влиянием нескольких факторов. С одной стороны, это пространственный фактор, обусловленный влиянием алкильного заместителя в α-положении, и увеличение напряжения в цикле. С другой стороны, более выраженный по сравнению с линейными α, β-ненасыщенными карбонильными соединениями +I-эффект алкильного заместителя, приводящий к увеличению электронной плотности на β-атоме углерода в сопряженной системе C=C—C=O.

Т а б л и ц а 4
Расчетные значения химических сдвигов (м.д.) замещенных циклогексен-2-онов **1, 2a—f** в приближениях MP2/6-31G(d, p)

Атом	2a	2b	2c	2d	2e	1	2f	Атом	2a	2b	2c	2d	2e	1	2f
C ¹	181,3 (199,5)*	182,9	182,7	182,5	183,9	182,9 (199,2)	183,4	C ³	134,1 (150,6)	131,4	131,3	128,5	130,7	128,1 (141,3)	131,0
C ²	124,6 (129,7)	130,5	135,8	139,4	140,5	139,2 (145,1)	130,2	C ⁷	–	20,3	28,4	28,1	34,7	28,1(26,1)	19,9

*В скобках приведены экспериментальные данные.

ЗАКЛЮЧЕНИЕ

Методами квантовой химии с использованием приближений RHF/3-21G, RHF/6-31G(*d, p*), MP2/6-31G(*d, p*), B3LYP/6-31G(*fd, p*) проведен расчет равновесной геометрии и рассчитаны спектры ЯМР ^{13}C 2-алкилзамещенных акролеинов и циклогексен-2-онов. Установлено, что в ряду 2-алкилциклогексен-2-онов влияние заместителя на отклонение от копланарности фрагмента $\text{C}=\text{C}-\text{C}=\text{O}$ более выражено по сравнению с 2-алкилакролеинами. Данными расчетов спектров ЯМР ^{13}C показано, что в α -замещенных циклогексен-2-онах в большей степени выражен электронный эффект алкильного заместителя по сравнению с замещенными акролеинами, что проявляется в уменьшении сопряжения связи $\text{C}=\text{C}$ с карбонильной группой. Установлено, что инертность связи $\text{C}=\text{C}$ в реакциях нуклеофильного 1,4-присоединения в (R)-4-ментеноне **1** обусловлена уменьшением эффекта поляризации кратной связи в сопряженной еноновой системе за счет электронодонорных свойств группы Pr^i .

СПИСОК ЛИТЕРАТУРЫ

1. Whitesidea G.M., Fischer W.F., Fillipo J.S. et al. // J. Amer. Chem. Soc. – 1969. – **91**, N 17. – P. 4871 – 4882.
2. Posner G.H. // Org. React. – 1972. – **19**. – P. 293 – 296.
3. Латыпова Э.Р., Харисов Р.Я., Ишмуратов Г.Ю., Талипов Р.Ф. (R)-4-ментенон в реакции сопряженного 1,4-присоединения металлоорганических реагентов // Материалы 4-й Междунар. конф. молодых ученых "Современные тенденции в органическом синтезе и проблемы химического образования". – СПб, 2005. – С. 358.
4. Харисов Р.Я., Газетдинов Р.Р., Боцман О.В. и др. // Журн. орган. химии. – 2002. – **36**, вып. 7. – С. 1047 – 1050.
5. Smidt M.W., Baldrige K.K., Boatz J.A., Elbert S.T., Gordon M.S., Jensen J.J.J., Koseki S., Mtsunaga N., Nguyen K.A., Su S., Windus T.L., Dupuis M., Montgomery J.A. // J. Comput. Chem. – 1993. – **14**. – P. 1347 – 1363.
6. Jensen F. Introduction to Computational Chemistry. – Chichester: John Wiley & Sons Ltd., 1999.
7. Pople J.A., Gill P.M.W., Johnson B.G. // Chem. Phys. Lett. – 1992. – N 199. – P. 557 – 570.
8. Kohn W., Backe A.D., Parr R.G. // J. Phys. Chem. – 1996. – **100**. – P. 12974 – 12980.
9. Hehre W.J., Radom L., Schleyer P.V.R. et al. *Ab initio* Molecular Orbital Theory. – N.Y.: Wiley-Interscience, 1985.
10. Kubli-Garfias C. // J. Mol. Struct. (Thechem). – 1998. – **422**. – P. 167 – 177.
11. Kubli-Garfias C., Vazquez-Ramirez R. // Ibid. – **454**. – P. 267 – 275.
12. *Общая органическая химия*, 2. – М.: Химия, 1982.
13. *Марч Дж.* Органическая химия, 1. – М.: Мир, 1987.
14. *Коллмен Дж., Хигедас Л., Нортон Дж., Финке Р.* Металлоорганическая химия переходных металлов. Основы и применения, 2. – М.: Мир, 1989.
15. *Еришов Б.А., Ионин Б.И. и др.* ЯМР-спектроскопия в органической химии. – Л.: Изд-во Ленингр. ун-та, 1983.